

Starkniederschlagshöhen und -spenden gemäß KOSTRA-DWD-2010R

Auswertungszeitraum von 1951 - 2010, Januar - Dezember

Rasterfeld: 63027

Zeile: 63

Spalte: 27

Seite: 1/2

| Dauerstufe D | Wiederkehrzeit T | | | | | | | | | | | | | | | | | | |
|--------------|------------------|------|------------|------|------------|------|------------|------|------------|------|------------|------|------------|------|------------|------|------------|-------|------------|
| | 1 a | | 2 a | | 3 a | | 5 a | | 10 a | | 20 a | | 30 a | | 50 a | | 100 a | | |
| min | Std | mm | l / (s ha) | mm | l / (s ha) | mm | l / (s ha) | mm | l / (s ha) | mm | l / (s ha) | mm | l / (s ha) | mm | l / (s ha) | mm | l / (s ha) | mm | l / (s ha) |
| 5 | | 5,5 | 183,3 | 7,3 | 243,3 | 8,4 | 280,0 | 9,8 | 326,7 | 11,6 | 386,7 | 13,4 | 446,7 | 14,5 | 483,3 | 15,9 | 530,0 | 17,7 | 590,0 |
| 10 | | 8,6 | 143,3 | 11,1 | 185,0 | 12,6 | 210,0 | 14,5 | 241,7 | 17,0 | 283,3 | 19,5 | 325,0 | 21,0 | 350,0 | 22,9 | 381,7 | 25,4 | 423,3 |
| 15 | | 10,6 | 117,8 | 13,6 | 151,1 | 15,4 | 171,1 | 17,7 | 196,7 | 20,7 | 230,0 | 23,7 | 263,3 | 25,5 | 283,3 | 27,8 | 308,9 | 30,8 | 342,2 |
| 20 | | 12,0 | 100,0 | 15,5 | 129,2 | 17,5 | 145,8 | 20,0 | 166,7 | 23,5 | 195,8 | 27,0 | 225,0 | 29,0 | 241,7 | 31,6 | 263,3 | 35,0 | 291,7 |
| 30 | | 13,8 | 76,7 | 18,0 | 100,0 | 20,4 | 113,3 | 23,5 | 130,6 | 27,7 | 153,9 | 31,8 | 176,7 | 34,3 | 190,6 | 37,4 | 207,8 | 41,5 | 230,6 |
| 45 | | 15,4 | 57,0 | 20,4 | 75,6 | 23,3 | 86,3 | 27,0 | 100,0 | 32,0 | 118,5 | 37,1 | 137,4 | 40,0 | 148,1 | 43,7 | 161,9 | 48,7 | 180,4 |
| 60 | | 16,3 | 45,3 | 22,0 | 61,1 | 25,4 | 70,6 | 29,6 | 82,2 | 35,3 | 98,1 | 41,0 | 113,9 | 44,4 | 123,3 | 48,6 | 135,0 | 54,3 | 150,8 |
| 90 | | 17,9 | 33,1 | 23,8 | 44,1 | 27,3 | 50,6 | 31,7 | 58,7 | 37,6 | 69,6 | 43,5 | 80,6 | 47,0 | 87,0 | 51,3 | 95,0 | 57,2 | 105,9 |
| 120 | 2 | 19,2 | 26,7 | 25,2 | 35,0 | 28,8 | 40,0 | 33,2 | 46,1 | 39,3 | 54,6 | 45,4 | 63,1 | 48,9 | 67,9 | 53,4 | 74,2 | 59,4 | 82,5 |
| 180 | 3 | 21,1 | 19,5 | 27,4 | 25,4 | 31,0 | 28,7 | 35,6 | 33,0 | 41,9 | 38,8 | 48,2 | 44,6 | 51,9 | 48,1 | 56,5 | 52,3 | 62,7 | 58,1 |
| 240 | 4 | 22,5 | 15,6 | 29,0 | 20,1 | 32,7 | 22,7 | 37,5 | 26,0 | 43,9 | 30,5 | 50,3 | 34,9 | 54,1 | 37,6 | 58,8 | 40,8 | 65,2 | 45,3 |
| 360 | 6 | 24,8 | 11,5 | 31,4 | 14,5 | 35,3 | 16,3 | 40,2 | 18,6 | 46,9 | 21,7 | 53,5 | 24,8 | 57,4 | 26,6 | 62,3 | 28,8 | 69,0 | 31,9 |
| 540 | 9 | 27,3 | 8,4 | 34,1 | 10,5 | 38,2 | 11,8 | 43,2 | 13,3 | 50,1 | 15,5 | 57,0 | 17,6 | 61,0 | 18,8 | 66,1 | 20,4 | 72,9 | 22,5 |
| 720 | 12 | 29,2 | 6,8 | 36,2 | 8,4 | 40,3 | 9,3 | 45,5 | 10,5 | 52,6 | 12,2 | 59,6 | 13,8 | 63,7 | 14,7 | 68,9 | 15,9 | 76,0 | 17,6 |
| 1080 | 18 | 32,1 | 5,0 | 39,4 | 6,1 | 43,6 | 6,7 | 49,0 | 7,6 | 56,3 | 8,7 | 63,6 | 9,8 | 67,8 | 10,5 | 73,2 | 11,3 | 80,5 | 12,4 |
| 1440 | 24 | 34,3 | 4,0 | 41,8 | 4,8 | 46,1 | 5,3 | 51,6 | 6,0 | 59,1 | 6,8 | 66,6 | 7,7 | 70,9 | 8,2 | 76,4 | 8,8 | 83,9 | 9,7 |
| 2880 | 48 | 40,8 | 2,4 | 49,0 | 2,8 | 53,9 | 3,1 | 59,9 | 3,5 | 68,1 | 3,9 | 76,4 | 4,4 | 81,2 | 4,7 | 87,2 | 5,0 | 95,5 | 5,5 |
| 4320 | 72 | 45,2 | 1,7 | 53,9 | 2,1 | 58,9 | 2,3 | 65,3 | 2,5 | 74,0 | 2,9 | 82,7 | 3,2 | 87,7 | 3,4 | 94,1 | 3,6 | 102,8 | 4,0 |

Angaben in mm: Bemessungsniederschlagswerte h(n)

Angaben in l / (s ha): Regenspende R(n) mit $R(n) = h(n) \times 1,666667 / D[\text{min}]$

Toleranzbereiche:

+/- 10 % für $1 a \leq T \leq 5 a$

+/- 15 % für $5 a < T \leq 50 a$

+/- 20 % für $50 a < T \leq 100 a$

Datenbasis: KOSTRA-DWD-2010R des Deutschen Wetterdienstes. Die Regenspende wurde auf Basis des Bemessungsniederschlags zur jeweiligen Andauer berechnet.

Für die Richtigkeit und Aktualität der Angaben wird keine Gewähr übernommen. Erstellt 07/2022.

Starkniederschlagshöhen und -spenden gemäß KOSTRA-DWD-2010R

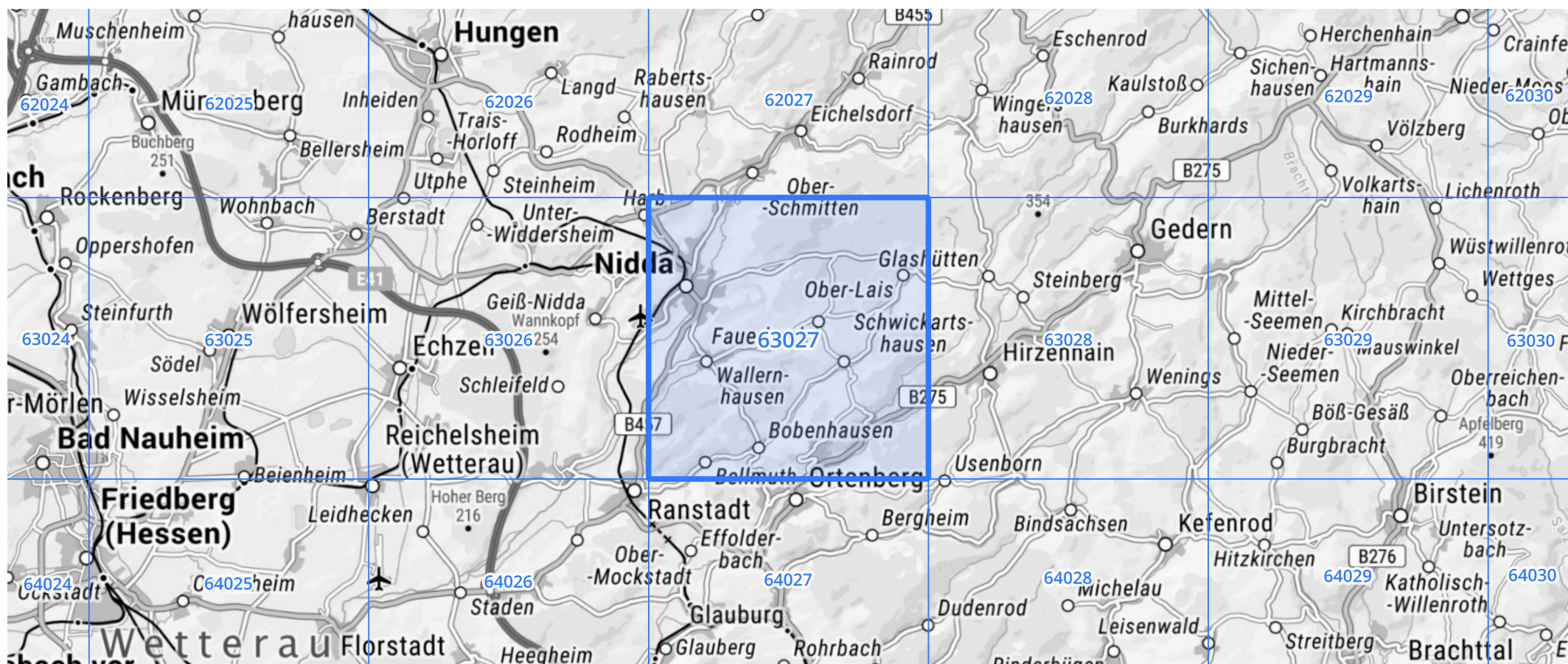
Auswertungszeitraum von 1951 - 2010, Januar - Dezember

Rasterfeld: 63027

Zeile: 63

Spalte: 27

Seite: 2/2



Quelle Rasterdaten: KOSTRA-DWD-2010R des Deutschen Wetterdienstes.

Kartendarstellung: © Bundesamt für Kartographie und Geodäsie (2022), Datenquellen: https://sgx.geodatenzentrum.de/web_public/gdz/datenquellen/Datenquellen_TopPlusOpen.html

Für die Richtigkeit und Aktualität der Angaben wird keine Gewähr übernommen. Erstellt 07/2022.